

(株)長大橋設計センター〇(正) 大月 菲
同上 (一) 青柳 実郎

(1) まえがき

先に、講演者の一人が長大吊橋の地震応答解析について論文⁽¹⁾を公にしたが、本稿はそれを補足するものである。先の論文では橋軸線を含む鉛直面内での地震応答を上下部一体構造の力学モデルについて、影響線マトリックスをもとに解いた。すばやく次の振動方程式をもととした。

$$\ddot{x} = \bar{\omega}^2 y + F_0 z \\ FM\bar{\omega}\ddot{y} + \bar{\omega}^2 y = -FMF_0 z \quad (1)$$

ここで \ddot{x} : 質点絶対変位のベクトル, $\bar{\omega}$: モードマトリックス, y : 一般化座標, F_0 : 基礎の単位変位に対する質点変位の影響マトリックス, z : 基礎の変位ベクトル, F : 質点変位の影響マトリックス。

変位の影響マトリックス F の内、ケーブルと補剛筋の鉛直変位 y の項を次の(2)式で表示した。

$$\eta = H\eta_H + N\eta_N + P\eta_P \quad (2)$$

ここで H : ケーブル水平張力割合, N : ケーブルに作用する水平外力, P : ケーブルと補剛筋に作用する鉛直外力, また η_H , η_N , η_P はそれぞれ単位の H , N , P が単独に作用したときの影響線で、くわしくは文献⁽¹⁾を参照されたい。しかし(2)式は正確には、

$$\eta = H\eta_H + N\eta_N + (P - y'N)\eta_P \quad (3)$$

ではないからだ。これはケーブルに作用する水平外力 N が各点での力の釣合から必然的にハンガー張力 $(-y'N)$ の変化を生じ、これが鉛直外力 P に附加されることによるものである。なお y' はケーブルの死荷重時勾配で、セクタ位置では0である。したがってセクタタグにのみ水平外力を想定した先の論文の数値解には影響はない。ここに向違いを正し、お詫びする。

(2) 各次モード減衰常数の設定

モード重は正規化されていて、その各次モード ϕ_i は

$$\phi_i^T M \phi_i = \sum_j M_j \phi_{ji}^2 = \sum_k a_{ki} = 1 \quad (4)$$

を満足する。振動系をいくつかの構造部分に分け、(4)式をそれぞれの構造部分 k に分割すれば、 a_{ki} は i 次モードの振動エネルギーが各部分にどのように分配されるかを意味する。一般に a_{ki} は1構造部分に集中する傾向をもつことから先の論文では最大の a_{ki} をもつ構造部分に与えられる減衰常数 α_{ki} をもつ。 i 次モードの減衰常数 α_i とする方法を提案したが、構造部分ごとに強引に合成をするとモードで上記の傾向を示さない場合もあるので次の方法がいいと考える。すばやく i 次モードの減衰常数 α_i を次式で求めよ。

$$\alpha_i = \sum_k h_{ki} a_{ki} \quad (5)$$

また地震応答を応答スペクトル S_i を用いて求めると、減衰常数 α_{ki} に対して与えられるスペクトル S_{ki} から各次モードのスペクトル S_i は次式で近似できよう。

$$S_i = \sum_k S_{ki} a_{ki} \quad (6)$$

(3) 力学モデルの改善

先の論文では、ケーブルと補剛桁の橋軸方向慣性力は中央経向に沿ってだけセンタータイに集中的に作用す
るとしたが、実際的でないとして図-1に示すようないわゆるモデルに改良してみた。すなまち印で示す節点は水平方向
と回転方向とに自由度をもつ剛体であり、●印は鉛直方向に自由度をもつ節点である。また○印で示した節点は
水平方向慣性力をもつとした。ハンガーは伸びないとしてケーブルに作用する鉛直方向慣性力は補剛桁
の中間に含むと仮定した。補剛桁の転動力はセンタータイのみにケーブルに伝わらせる。側経向補剛桁に作用する
水平方向慣性力は無視した。

中央経向長1100mの3経向2ヒンジ吊橋
について力学モデルのちがいの影響をみてみた。
ケーブル水平張力、補剛桁転動力以外では
あまり大きな差はないが、平均速度応
答スペクトル(減衰常数、下部: 0.05、上
部: 0.02)を用いて40の基礎に独立な地
震波が作用した場合の両者の主なちがいをみると
表-1のとくである。なお応答値はベクトル和
の形で求めたものを表示した。表-1から、
ケーブル水平張力は死荷重張力54500tに対し
て約14%増え、センタータイ位置での
張力差7772tは過大評価であるが、3162t
がほかに補剛桁転動力約1600t(1橋当り)が生じるとした方がよいかと考えられる。

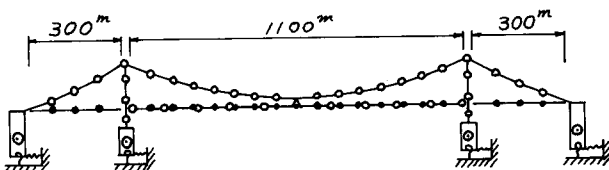


図-1

表-1

(単位: ton)

着目量	旧モデル	新モデル
ケーブル水平張力増分	6561	7544
荷頂ケーブル水平張力差	2091	2080
センタータイの張力差	7772	3162

(4) 遷渡現象について

1基の吊橋基礎から入力される地震の影響が各構造部分に十分は形でゆきわたるのにどの程度の時間を要す
るかは、地震現象のタイムスケールとの関連で興味あるところである。吊橋における遷渡現象を調べるために今
改めて、1基の基礎に与えられた単位変位の影響がどのように時間的経過で各部の応答と何の現象かを見
る方法を有効であろう。基礎Kがスティック数nの強制変位をうけるときの任意着目量gの応答は各次モードの
減衰常数 ζ_i を考慮して

$$g = f_{ok}^{\theta} - \sum_i \phi_i^{\theta} \frac{R_{ik}}{\sqrt{1-\zeta_i^2}} \cos(\sqrt{1-\zeta_i^2} \omega_i t - \theta_i) \quad (7)$$

$$R_{ik} = \phi_i^T M f_{ok}, \quad \tan \theta_i = \zeta_i / \sqrt{1-\zeta_i^2}$$

ただし f_{ok}^{θ} : 基礎Kの単位変位(静的)による着目量gの変化、 ϕ_i^{θ} : 着目量gのi次モード、 f_{ok} : F₀のK列ベクトル。
(7)式の数値計算例は当日報告する予定である。

[引用文献] (1) 青柳史郎: 地震動の位相差を考慮した長大吊橋の地震応答について,
土木学会論文報告集, 第190号, 1971年6月, P37~48。